

不規則外力を受ける基礎構造物の過渡応答

京都大学工学部 正員 後藤尚男
 京都大学防災研究所 正員 土岐寛三
 京都大学工学部 正員 岡吉卓

1. まえがき 構造物とそれを支持する地盤の振動特性については、かなり詳細に検討が行われてきたが^{1), 2)} これらの研究はそのほとんどが周波数応答を解析するところまでであって、これはフーリエ変換形あるいは周波数伝達関数を求める上にはがんばらなかった。しかし、実地震動のように不規則に変動する入力に対しての地盤あるいは構造物の応答を解析的に表現するためには、それらの単位衝撃応答関数が必要となってくる。ところで単位衝撃応答関数は伝達関数のラプラス逆変換によって得られるが、実際はそれが周波数の複雑な関数となつていて、そのため逆変換は容易ではない。そこでわれわれはすでに報告した弹性地盤中の剛性構円柱の周波数応答解析結果を参考して、表層地盤の動的効果を若干加味した式で置き換えて行なうことにより、単位衝撃応答関数の解析的表現を得た。本研究においては、基盤よりの入力地震動を定常不規則振動としてホワイトノイズを対象にし、これに対する系の不規則応答について解析を行なったので、その概略をここに報告する。

2. モデル化およびその理論解析 弹性地盤中に埋設された基礎構造物が剛性構円柱であって、その底面は堅い基盤に支えられ、回転の中心と底面の中心に持つロッキング振動をするとき、その回転角に関する周波数伝達関数 $\Psi(\omega)$ は次式として得られてる³⁾。

$$\Psi(\omega) = \frac{\frac{H_s}{\zeta_s^2} + \frac{\pi}{2H} \left(\frac{\omega_s}{\omega_0} \right)^2 \chi G(\omega)}{-\omega^2 + 2i\zeta_s \omega_s \omega + \omega_s^2 + \omega_0^2} \chi F(\omega) \quad \cdots \cdots (1)$$

ここで、 $F(\omega) = f_1 + if_2$, $G(\omega) = g_1 + ig_2$ はそれぞれ複素ばね効果および振動土圧の動的効果を示す項であって、それらの理論解析の結果が図-1および図-2に示されるものである。

本研究においては、側圧のばね効果と粘性減衰効果を持つ、振動数に無関係な量として定義し、次の関数形を与える。

$$F(\omega) = f_1 + if_2 = k_1 + 2ik_2 \omega / \omega_0 \quad \cdots \cdots (2)$$

一方、振動土圧の動的効果は図-2から見られるように、ある1自由度系の応答特性に近似できることであろう。かくして、 $G(\omega)$ の関数形として次の形を与える。

$$G(\omega) = g_1 + ig_2 = k_3 \omega_0^2 / (-\omega^2 + 2i\zeta_g \omega_0 \omega + \omega_0^2) \quad \cdots \cdots (3)$$

ところで、任意の時刻 t ($t=0$) における基礎構造物頂部の相対変位を $z(t)$ とするとき、これに対する単位衝撃応答関数 $w(t)$ は式(2),(3)を利用して、 $H \cdot \Psi(\omega)$ のラプラス逆変換によって得られる。

$$\text{よって } z(t) = \alpha / \{-\omega^2 + 2i\zeta_g \omega_0 \omega + \omega_0^2 + \omega_s^2 + \omega_0^2\} H \cdot \Psi(\omega) = P(\omega) \text{ とする}$$

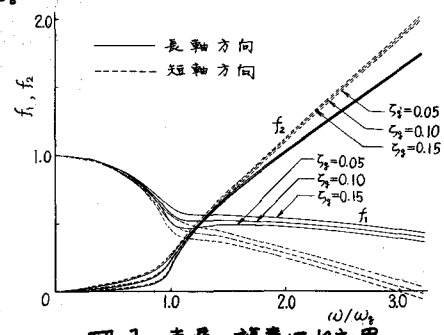


図-1 表層の複素ばね効果

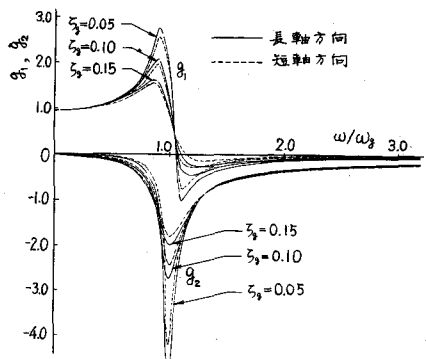


図-2 振動土圧の動的効果

$\beta \chi G(i\omega) / \{ -\omega^2 + 2i\zeta_3 \omega_3 w + \omega_3^2 \} \{ F(i\omega) \} \{ -\omega^2 + 2i\zeta_3 w_2 w + \omega_2^2 \} \} = Q(i\omega)$ と置くと, $P(i\omega), Q(i\omega)$ および $G(i\omega)$ のラプラス逆変換形をそれぞれ $w_0(t), w_1(t)$, $w_2(t)$ および $w_3(t)$ とするとき, 基礎本顶部に関する運動方程式の次式で与えられる。

$$\ddot{x}(t) + 2\zeta_1 \dot{x}(t) + \omega_1^2 x(t) = \alpha \ddot{z}(t) + \beta w_2(t) * \ddot{z}(t) = [\alpha + \beta w_2(t)] * \ddot{z}(t) \quad \text{--- (4)}$$

したがって式(4)より時刻 t_1, t_2 ($t_2 \geq t_1 \geq 0$) に関する次の2式をうる。

$$\nabla_{(2)}^2 \phi_{zz}(t_1, \bar{t}_2) = [\alpha + \beta w_2(t_2)] * \phi_{zz}(t_1, \bar{t}_2), \quad \nabla_{(0)}^2 \phi_{zz}(\bar{t}_1, t_2) = [\alpha + \beta w_2(t_1)] * \phi_{zz}(\bar{t}_1, t_2) \quad \text{--- (5)}$$

ここで $\nabla_{(i)}^2 = \partial^2 / \partial t_i^2 + 2\zeta_i \partial / \partial t_i + \omega_i^2$, ($i=1, 2$) であると, $A(t) * B(t)$ は convolution $\int_0^t A(t-\tau) B(\tau) d\tau$ を表わすものとする。式(5)の第1式および第2式よりそれぞれ次の共分散 $\phi_{zz}(t_1, t_2), \phi_{zz}(\bar{t}_1, t_2)$ をうる。

$$\left. \begin{aligned} \phi_{zz}(t_1, t_2) &= w(t_2) * \phi_{zz}(t_1, \bar{t}_2) \\ \phi_{zz}(t_1, t_2) &= w(t_1) * \phi_{zz}(\bar{t}_1, t_2) = w(t_1) * [w(t_2) * \phi_{zz}(t_1, \bar{t}_2)] \end{aligned} \right\} \quad \text{--- (6)}$$

ところで入力地震動 $\ddot{z}(t)$ は平均値 0 の定常確率過程として、単位時間当たりのパワーが D であるようなノーマル / 1 級を考えると、入力地震動の共分散 $\phi_{zz}(t_1, t_2)$ は結局 $D \delta(t_2 - t_1)$ と表わされる。したがって、式(6)より $\phi_{zz}(t_1, t_2)$ の結果を利用して $\phi_{zz}(t_1, t_2)$ が得られながら、この過程により表層と基礎の静的反応比 χ の値のいかんによって次の二つの場合が生ずる。

$$a) 1 + \chi k_1 - (\zeta_3 + \chi k_2 \omega_3 / \omega_2)^2 \geq 0 \text{ のとき}$$

$$w(t) = \alpha w_0(t) + \beta w_1(t) = \frac{\alpha}{\omega_1} e^{-\alpha t} \sin \omega_1 t + \frac{\beta k_3 \omega_3}{\zeta_3^* \omega_1} \cdot \frac{\omega_2 \bar{e}^{-\alpha t} \sin(\omega_1 t - \delta_1) + \omega_1 e^{-\alpha t} \sin(\omega_2 t + \delta_2)}{\{(\Delta_1 + \Delta_2)^2 + (\omega_2 + \omega_1)^2\}^{1/2}}, \quad (t \geq 0) \quad \text{--- (7)}$$

ただし、 $t < 0$ に対しては $w(t) = 0$ とする。このとき共分散 $\phi_{zz}(t_1, t_2)$ は式(6)の(1)次式をうる。

$$\begin{aligned} \phi_{zz}(t_1, t_2) &= \lambda_{11} \left[e^{-\alpha_1(t_2-t_1)} \{ \Delta_1 \omega_1 \sin \omega_1(t_2-t_1) + \omega_1^2 \cos \omega_1(t_2-t_1) \} - e^{-\alpha_1(t_1+t_2)} \{ \Delta_1 \omega_1 \sin \omega_1(t_1+t_2) + \omega_1^2 \cos \omega_1(t_1+t_2) + 2\Delta_1^2 \sin \omega_1 t_1 \sin \omega_1 t_2 \} \right] \\ &\quad + \lambda_{12} \left[e^{-\alpha_1(t_2-t_1)} \{ \Delta_1 \omega_1 \sin(\omega_1(t_2-t_1) - \delta_1) + \omega_1^2 \cos(\omega_1(t_2-t_1) - \delta_1) \} - e^{-\alpha_1(t_1+t_2)} \{ \Delta_1 \omega_1 \sin(\omega_1(t_1+t_2) - \delta_1) + \omega_1^2 \cos(\omega_1(t_1+t_2) - \delta_1) + 2\Delta_1^2 \sin \omega_1 t_1 \cdot \right. \\ &\quad \cdot \sin(\omega_1 t_2 - \delta_1) \} \] + \lambda_{13} \left[\omega_1 e^{-\alpha_2(t_2-t_1)} \{ \sin(\omega_2(t_2-t_1) + \delta_1 + \varepsilon_1) - e^{-\alpha_2(t_1+t_2)} \{ \sqrt{(\Delta_1 + \Delta_2)^2 + \omega_1^2} \sin(\omega_1 t_1 + \varepsilon_1) \sin(\omega_2 t_2 + \delta_2) + \omega_2 \sin(\omega_1 t_1 + \varepsilon_1) \cdot \right. \\ &\quad \cdot \cos(\omega_2 t_2 + \delta_2) \} \] + \lambda_{21} \left[e^{-\alpha_2(t_2-t_1)} \{ -2\Delta_1^2 \sin \omega_1(t_2-t_1) \sin \delta_1 + \omega_1^2 \cos \omega_1(t_2-t_1) + \Delta_1 \omega_1 \sin \omega_1(t_2-t_1) - \delta_1 \} \} - e^{-\alpha_2(t_1+t_2)} \{ 2\Delta_1^2 \cdot \right. \\ &\quad \cdot \sin(\omega_1 t_1 - \delta_1) \sin \omega_1 t_2 + \omega_1^2 \cos(\omega_1(t_2-t_1) + \delta_1) + \Delta_1 \omega_1 \sin(\omega_1(t_1+t_2) - \delta_1) \} \] + \lambda_{22} \left[e^{-\alpha_2(t_2-t_1)} \{ \omega_2 \sin(\omega_1(t_2-t_1) + \varepsilon_1) \cos \delta_2 + \sqrt{(\Delta_1 + \Delta_2)^2 + \omega_2^2} \right. \\ &\quad \cdot \sin(\omega_1(t_1-t_2) + \varepsilon_1) \sin \delta_2 \} - e^{-\alpha_2(t_1+t_2)} \{ \omega_1 \sin(\omega_2(t_2-t_1) + \delta_2 + \varepsilon_2) \cos \omega_1 t_2 + \sqrt{(\Delta_1 + \Delta_2)^2 + \omega_2^2} \sin(\omega_2 t_1 + \delta_2 + \varepsilon_2) \sin \omega_1 t_2 \} \] + \lambda_{23} \left[e^{-\alpha_2(t_2-t_1)} \cdot \right. \\ &\quad \cdot \{ -2\Delta_1^2 \sin(\omega_1(t_2-t_1) - \delta_1) \sin \delta_1 + \omega_1^2 \cos \omega_1(t_2-t_1) + \Delta_1 \omega_1 \sin(\omega_1(t_2-t_1) - 2\delta_1) \} - e^{-\alpha_2(t_1+t_2)} \{ 2\Delta_1^2 \sin(\omega_1 t_1 - \delta_1) \sin(\omega_1 t_2 - \delta_1) + \omega_1^2 \cos \omega_1(t_2-t_1) + \right. \\ &\quad \Delta_1 \omega_1 \sin(\omega_1(t_1+t_2) - 2\delta_1) \} \] + \lambda_{24} \left[e^{-\alpha_2(t_2-t_1)} \{ -\sqrt{(\Delta_1 + \Delta_2)^2 + \omega_2^2} \sin(\omega_2(t_2-t_1) + \delta_2 + \varepsilon_2) \sin \delta_1 + \omega_1 \sin(\omega_2(t_2-t_1) + \delta_2 + \varepsilon_2) \cos \delta_1 \} - e^{-\alpha_2(t_1+t_2)} \cdot \right. \\ &\quad \cdot \{ \sqrt{(\Delta_1 + \Delta_2)^2 + \omega_2^2} \sin(\omega_2 t_1 - \delta_1) \sin(\omega_2 t_2 + \delta_2 + \varepsilon_2) + \omega_2 \cos(\omega_2 t_1 - \delta_1) \sin(\omega_2 t_2 + \delta_2 + \varepsilon_2) \} + e^{-\alpha_2(t_2-t_1)} \{ \sqrt{(\Delta_1 + \Delta_2)^2 + \omega_1^2} \sin \omega_2 \sin(\omega_1(t_2-t_1) - \delta_1 + \varepsilon_2) + \right. \\ &\quad \cdot \omega_2 \cos \omega_2 \sin(\omega_1(t_2-t_1) - \delta_1 + \varepsilon_2) \} - e^{-\alpha_2(t_1+t_2)} \{ \sqrt{(\Delta_1 + \Delta_2)^2 + \omega_1^2} \sin(\omega_1 t_1 + \delta_2 + \varepsilon_1) \cos(\omega_1 t_2 - \delta_1) \} \] \end{aligned} \quad \text{--- (8)}$$

$$\begin{aligned} \text{ここで, } \lambda_{11} &= \alpha D / \{ 4\Delta_1 \omega_1^2 (\Delta_1^2 + \omega_1^2) \}, \quad \lambda_{12} = \alpha \beta k_3 \omega_3^2 D / \{ 4\Delta_1 \omega_1^2 \bar{e}^{-\alpha_1^2} (\Delta_1^2 + \omega_1^2) \{ (\Delta_2 - \Delta_1)^2 + (\omega_2 + \omega_1)^2 \} \{ (\Delta_2 - \Delta_1)^2 + (\omega_2 - \omega_1)^2 \} \}^{1/2} \}, \quad \lambda_{13} = \alpha \beta k_3 \omega_3 D / \\ &\{ \omega_1 \bar{e}^{-\alpha_1^2} \{ (\Delta_2 - \Delta_1)^2 + (\omega_2 + \omega_1)^2 \} \{ (\Delta_2 - \Delta_1)^2 + (\omega_2 - \omega_1)^2 \} \{ (\Delta_2 + \Delta_1)^2 + (\omega_2 + \omega_1)^2 \} \}^{1/2} \}, \quad \lambda_{21} = \lambda_{12}, \quad \lambda_{22} = \lambda_{13}, \quad \lambda_{23} = \beta^2 k_3^2 \omega_3^2 D / \\ &\{ 4\Delta_1 \omega_1^2 (\Delta_1^2 + \omega_1^2) \{ (\Delta_2 - \Delta_1)^2 + (\omega_2 + \omega_1)^2 \} \{ (\Delta_2 - \Delta_1)^2 + (\omega_2 - \omega_1)^2 \} \}, \quad \lambda_{24} = \beta^2 k_3^2 \omega_3^2 D / \{ \omega_1 \bar{e}^{-\alpha_1^2} \{ (\Delta_2 - \Delta_1)^2 + (\omega_2 + \omega_1)^2 \} \{ (\Delta_2 - \Delta_1)^2 + (\omega_2 - \omega_1)^2 \} \{ (\Delta_2 + \Delta_1)^2 + (\omega_2 + \omega_1)^2 \} \}^{1/2} \}, \\ &\cdot \{ (\Delta_2 + \Delta_1)^2 + (\omega_2 - \omega_1)^2 \}^{1/2} \}, \quad \lambda_{25} = \beta^2 k_3^2 \omega_3^2 D / \{ \bar{e}^{-\alpha_2^2} \Delta_2 (\Delta_2^2 + \omega_2^2) \{ (\Delta_2 - \Delta_1)^2 + (\omega_2 + \omega_1)^2 \} \{ (\Delta_2 - \Delta_1)^2 + (\omega_2 - \omega_1)^2 \} \}, \quad \delta_1 = \tan^{-1} \left[2\omega_1 (\Delta_2 - \Delta_1) / \{ (\Delta_2 - \Delta_1)^2 + \right. \\ &\left. \omega_2^2 - \omega_1^2 \} \right], \quad \delta_2 = \tan^{-1} \left[2\omega_2 (\Delta_2 - \Delta_1) / \{ (\Delta_2 - \Delta_1)^2 + \omega_2^2 + \omega_1^2 \} \right], \quad \varepsilon_1 = \tan^{-1} \left[2\omega_2 (\Delta_2 + \Delta_1) / \{ (\Delta_2 + \Delta_1)^2 - \omega_2^2 + \omega_1^2 \} \right], \quad \varepsilon_2 = \tan^{-1} \left[\omega_1 \{ (\Delta_2 + \Delta_1)^2 - \omega_2^2 + \omega_1^2 \} / \right. \\ &\left. \{ (\Delta_2 + \Delta_1) \{ (\Delta_2 + \Delta_1)^2 + \omega_2^2 + \omega_1^2 \} \} \right], \quad \varepsilon_3 = \tan^{-1} \left[2\omega_1 (\Delta_1 + \Delta_2) / \{ (\Delta_1 + \Delta_2)^2 + \omega_2^2 - \omega_1^2 \} \right], \quad \varepsilon_4 = \tan^{-1} \left[\omega_2 \{ (\Delta_1 + \Delta_2)^2 + \omega_2^2 - \omega_1^2 \} / \{ (\Delta_1 + \Delta_2) \{ (\Delta_2 + \Delta_1)^2 + \omega_2^2 - \omega_1^2 \} \} \right], \quad \alpha = (H/m)^2 / 2, \quad \beta = \pi \chi (\omega_3 / \omega_2)^2 / 2, \quad \Delta_1 = \omega_3 (\zeta_3 + \chi k_2 \omega_3 / \omega_2), \quad \omega_0 = \omega_3 \sqrt{1 + \chi k_1}, \quad \omega_1 = \omega_3 \sqrt{1 + \chi k_1 - (\Delta_1 / \omega_3)^2}, \quad \Delta_2 = \zeta_3 k_3, \quad \omega_2 = \zeta_3^* \omega_3, \quad \zeta_3^* = \sqrt{1 - \zeta_3^2}. \end{aligned}$$

w_g, w_s : 表層1次および基礎体のロッキングの固有円振動数, ζ_g, ζ_s : 表層内部および基礎体のロッキングの粘性減衰定数。

b) $1 + \chi k_1 - (\zeta_g + \chi k_2 w_s / w_g)^2 < 0$ のとき

$$w(t) = \alpha w_0(t) + \beta w_1(t) = \frac{\alpha}{\omega_1} e^{-\zeta_g t} \sinh(\omega_1 t) + \frac{\beta k_2 w_s e^{-\zeta_g t}}{\omega_1^2 \left[\{(\Delta_1 - \Delta_2 - \omega_1')^2 + \omega_1^2\} \{(\Delta_1 - \Delta_2 + \omega_1')^2 + \omega_1^2\} \right]^{1/2}}, \quad (t \geq 0) \quad \text{--- (9)}$$

$$\therefore \zeta_g = \tan^{-1} \left[2\omega_2(\Delta_1 - \Delta_2) / \{(\Delta_1 - \Delta_2)^2 - \omega_1^2 - \omega_2^2\} \right], \quad \omega_1' = \omega_1 \sqrt{(\Delta_1/\omega_1)^2 - (1+\chi k_1)}, \quad t < 0 \text{ に対して } w(t) = 0 \text{ とする。}$$

a) と同様にして共分散 $\phi_{xx}(t_1, t_2)$ 等が得られるが、ここでは割愛する。

かくして基礎的確率量である応答位、速度の分散 $\sigma_x^2(t), \sigma_{x\dot{x}}^2(t)$, および相関係数 $f_{x\dot{x}}(t)$ は共分散 $\phi_{xx}(t_1, t_2), \phi_{x\dot{x}}(t_1, t_2), \phi_{\dot{x}\dot{x}}(t_1, t_2)$ 等を介して次のようにして求めることができる。

$$\left. \begin{aligned} \phi_{xx}(t_1, t_2) &= \frac{\partial}{\partial t_2} \phi_{xx}(t_1, t_2), & \phi_{x\dot{x}}(t_1, t_2) &= \frac{\partial}{\partial t_1} \phi_{x\dot{x}}(t_1, t_2) = \frac{\partial^2}{\partial t_1 \partial t_2} \phi_{xx}(t_1, t_2), \\ \sigma_x^2(t) &= \phi_{xx}(t, t), & \sigma_{x\dot{x}}^2(t) &= \phi_{x\dot{x}}(t, t), & f_{x\dot{x}}(t) &= \phi_{x\dot{x}}(t, t) / [\sigma_x(t) \sigma_{x\dot{x}}(t)] \end{aligned} \right\} \quad \text{--- (10)}$$

ところで応答量 $x(t)$ および $\dot{x}(t)$ がガウス分布に従うとするとき、 $|x(t)|$ カーレベル A を単位時間当たりに超過する平均超過回数 $m(A; t)$ は2次元同時確率密度関数 $p(x, \dot{x}; t)$ を用いて次の式で表す⁴⁾

$$m(A; t) dt = \int_0^\infty \int_{A - \dot{x}(t) dt}^A p(x, \dot{x}; t) dx d\dot{x} + \int_0^\infty \int_{-\infty}^{A - \dot{x}(t) dt} p(x, \dot{x}; t) dx d\dot{x} = 2dt \int_0^\infty \dot{x}(t) p(A, \dot{x}; t) d\dot{x}$$

$$\therefore m(A; t) = \frac{1}{\pi} \frac{\partial x}{\partial \dot{x}} \exp \left\{ -\frac{1}{2} \left(\frac{A}{\dot{x}_0} \right)^2 \right\} \left[\sqrt{1 - P_{xx}^2} \exp \left\{ -\frac{P_{xx}}{2(1 - P_{xx})} \left(\frac{A}{\dot{x}_0} \right)^2 \right\} + \sqrt{\frac{\pi}{2}} P_{xx} \left(\frac{A}{\dot{x}_0} \right) \left\{ 1 + \operatorname{erf} \left(\frac{P_{xx}}{\sqrt{2(1 - P_{xx})}} \frac{A}{\dot{x}_0} \right) \right\} \right] \quad \text{--- (11)}$$

3. 数値計算結果とその考察 $k_1 = 2k_2 = k_3 = 1$ とし、 $b/a = A/H = 1/2$ の剛ら橋円柱の場合に対する計算結果について図-3より図-10までに示した。橋円柱は振動の方向によって固有振動数が異なるため、本研究においては主として短軸および長軸方向に振動するときの橋円柱の固有振動数と表層のそれとの相対的な関係が、その過渡応答に及ぼす影響を検討した。図-3～図-6および図-7～図-10はそれをせば短軸方向 ($\omega_s < \omega_g$) および長軸方向 ($\omega_s > \omega_g$) の振動についての図である。図-3と図-7の単位衝撃応答関数を比較すると、 $\omega_s < \omega_g$ では表層地盤の影響が非常に大きく効いてくるが、 $\omega_s > \omega_g$ では表層地盤の動的効果を加味した単位衝撃応答関数と、それを無視したときの関数との位相差からくる連成効果により、ほぼ表層の固有周期 T_g に相当する時間で経過する前後において過去の応答履歴の影響が漸激に薄れるが、2 T_g を過ぎると表層地盤の影響が効いてくることがわかる。図-4と図-8は応答位の分散を図示したものである。表層の影響を考慮しない場合を点線で示したが、 $\omega_s < \omega_g$ では傾向的にはこれと類似しており、応答が定常状態に達するまでの時間と等しいが、一方、 $\omega_s > \omega_g$ で $\zeta_s \neq 0$ のときは最初の短時間で過渡応答の大半が完了することを示している。これらの傾向は図-5と図-9の相関係数についても象徴的に示されているように、やはり $\omega_s > \omega_g$ で傾向的停滯状態が存在する。さらに応答位があらレベルを単位時間当たりに超過する平均回数を図-6と図-10に示したが、入力地震動が定常白色過程であることから当然のことながら、いずれの場合も構造物の運動開始とともに同時に低レベルほど超過回数が漸増を示し、すぐさま定常状態に近づくが、超過レベルが大きくなると過渡状態は長引く。また例えば図-4, 8 の $\zeta_g = 0.05$ のときの分散の差からして、 A/\dot{x}_0 が等しくなるのは超過レベル $A/\sqrt{\omega_g^2/D}$ が図-6で 1.5, 図-10で 0.5 の場合に相当するが、 $\omega_s > \omega_g$ の方が $m(A; t)$ は若干大きい。これは ω_s と ω_g の相対関係が超過頻度に大きな影響を与えることの一例であろう。

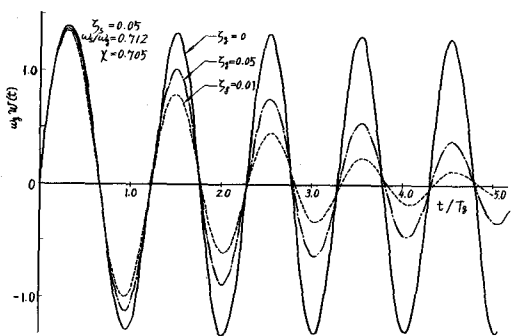


図-3 単位衝撃応答関数

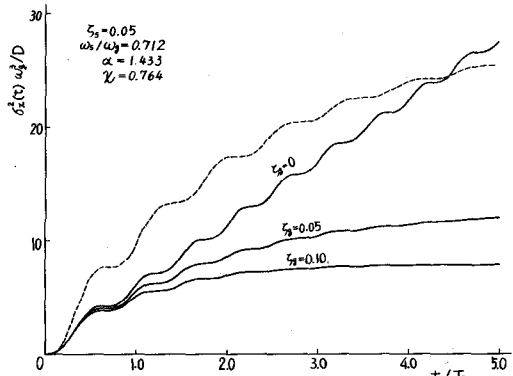


図-4 変位の分散

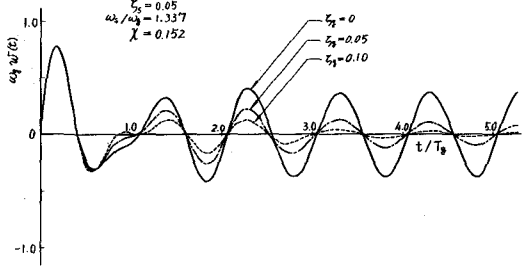


図-7 単位衝撃応答関数

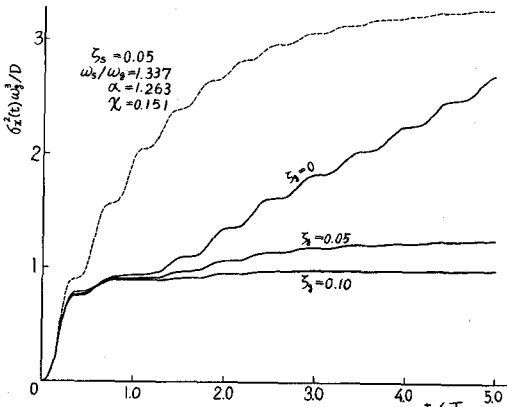


図-8 変位の分散

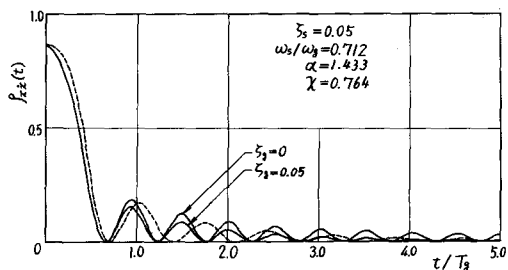


図-5 相関係数(変位-速度)

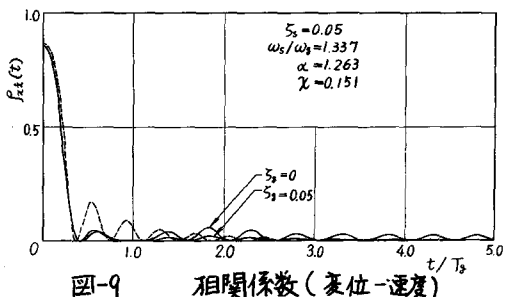


図-9 相関係数(変位-速度)

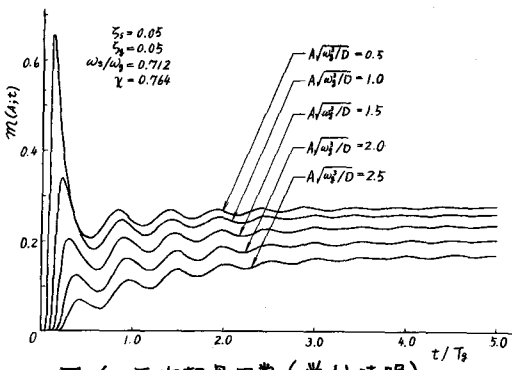


図-6 平均超過回数(単位時間)

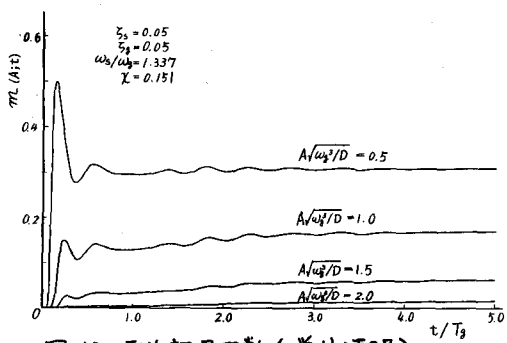


図-10 平均超過回数(単位時間)

1) 田中治見 実: 日本地震工学シンポジウム(1966)講演集, 1966.10, pp 255-260. 2) 後藤・土井・秋吉: 第2回地震関西支部年次学術講演会講演概要, I-23. 3) 後藤・秋吉: 京大防災研究力年報第15号A, pp 255-274. 4) S. O. Rice: Selected Papers on Noise and Stochastic Processes, pp 189-195, Dover.